

## ویژگی‌های بیوشیمیایی گیاهان آرابیدوپسیس جهش یافته *ntrc* طی پیری القاء شده توسط تاریکی

فاطمه تمسکنی، حمیدرضا صادقی‌پور\*، مهناز اقدسی و احمد عبدالزاده

گروه زیست‌شناسی، دانشکده علوم، دانشگاه گلستان

(تاریخ دریافت: ۹۳/۲/۲۰، تاریخ پذیرش نهایی: ۱۳۹۴/۰۳/۱۲)

### چکیده:

تیوردوکسین‌ها در تنظیم ردوکس بسیاری از فرآیندهای سلولی دخالت دارند. در این مطالعه نقش  $NADP^+$ -تیوردوکسین ردوکتاز C (NTRC) در کنترل پیری برگ از طریق مطالعه بیوشیمیایی گیاهان آرابیدوپسیس جهش یافته *ntrc* بررسی شد. گیاه وحشی و دو لاین جهش یافته *ntrc* چهل روزه تحت رژیم روشنایی - تاریکی نرمال یا تاریکی پیوسته به مدت ۶ روز به ترتیب به عنوان تیمار کنترل و پیری قرار گرفتند. پارامترهای رشد، میزان کربوهیدرات‌ها، رنگدانه‌ها و فعالیت برخی آنزیم‌های آنتی‌اکسیدانت بین گیاه وحشی و دو لاین جهش یافته *ntrc* طی پیری القاء شده توسط تاریکی مقایسه شدند. تاریکی منجر به کاهش وزن تر و خشک، محتوی کلروفیل‌ها، کارتنوئیدها، نشاسته و پروتئین‌ها در هر دو گیاه وحشی و جهش یافته گردید و تفاوت معنی‌داری در برهمکنش ژنوتیپ و تیمار برای این پارامترها وجود نداشت. همچنین تاریکی تجمع آنتوسیانین، قندهای کل و غیراحیائی را القاء کرد اما تجمع کربوهیدرات‌ها در لاین‌های جهش یافته نسبت به وحشی شدیدتر بود؛ در هر صورت تفاوت معنی‌داری در پاسخ گیاهان وحشی و جهش یافته نسبت به تیمار تاریکی وجود نداشت. فعالیت کاتالاز، پراکسیداز و پلی‌فنل‌اکسیداز لاین‌های جهش یافته نسبت به گیاهان وحشی به صورت معنی‌دار بالاتر بود. با وجود این که تاریکی فعالیت کاتالاز و آسکوربات پراکسیداز را کاهش داد، باعث افزایش فعالیت پراکسیداز و پلی‌فنل‌اکسیداز به‌ویژه در لاین‌های جهش یافته شد. تفاوت معنی‌داری در مورد هر چهار آنزیم بین گیاهان وحشی و جهش یافته در پاسخ به تاریکی وجود داشت. به نظر می‌رسد که جهش ایجاد شده در پروتئین NTRC بطور کلی روند فعالیت آنزیم‌های آنتی‌اکسیدانت را طی فرآیند پیری تحت تأثیر قرار می‌دهد. نتایج این مطالعه می‌تواند در برنامه‌های اصلاحی آینده برای کنترل فرآیند پیری در جهت بهبود عملکرد گیاهان زراعی مفید باشد.

کلمات کلیدی: آنزیم‌های آنتی‌اکسیدانت، آنتوسیانین، پیری، تیوردوکسین، جهش یافته *ntrc* کلروفیل.

### مقدمه:

میتوکندریایی بوده که در واکنش‌های ردوکس مشارکت می‌کنند (Dietz and Pfannschmidt, 2011). تیوردوکسین‌های سیتوزولی و میتوکندریایی بوسیله  $NADPH$  و  $NADPH^+$ - تیوردوکسین ردوکتاز (NTR) و تیوردوکسین‌های کلروپلاستی به‌وسیله فردوکسین و فردوکسین- تیوردوکسین ردوکتاز (FTR) احیاء می‌شوند (Buchanan and Balmer, 2005). علاوه بر این گیاهان دارای نوعی NTR به نام NTRC هستند

تیوردوکسین‌ها پروتئین‌های کوچک با وزن مولکولی ۱۴-۱۲ کیلودالتون بوده و حداقل ۲۰ ژن کد کننده این پروتئین‌ها از طریق تعیین توالی ژنوم آرابیدوپسیس شناسائی شده است (de Dios Barajas-Lopez *et al.*, 2007; Arner and Holmgren, 2000; Schurmann and Jacquot, 2000) پروتئین‌های کد شده توسط این ژن‌ها شامل تیوردوکسین‌های h سیتوزولی، x، f، m، y و کلروپلاستی و تیوردوکسین o

آنتی‌اکسیدانت‌های غیرآنزیمی نیز می‌باشند که با مهار سمیت اکسیژن‌های واکنش‌گر پیری را تا مراحل انتهائی آن کنترل می‌کنند (Prochazkova et al., 2009). در روند پیری برگ توازن تولید و متابولیسم گونه‌های اکسیژن واکنش‌گر تغییر یافته و سبب اختلال هموستازی ردوکس سلولی شده که در مجموع به‌عنوان تنش اکسیداتیو شناخته شده است (Masclaux-Daubresse et al., 2010; Bhattacharjee, 2012).

مطالعه آنالیز ژنتیک مولکولی نشان داد که در فرآیند پیری بیان بسیاری از ژن‌ها تغییر می‌کند. ژن‌های مرتبط با پیری شامل تنظیم‌کننده فاکتورهای نسخه‌برداری، ژن‌های دخیل در فرآیندهای کاتابولیکی مرتبط با شکستن ماکرومولکول‌ها همچون آنزیم‌های پروتئاز، لیپاز، و ریبونوکلئاز و ژن‌های با عملکرد ثانویه در تجزیه مجدد مواد که سبب تسهیل انتقال مواد از منبع به مخزن می‌گردند می‌باشد (Taiz and Zeiger, 2010). در هر حال هنگامی که تقاضای گیاه به‌وسیله اسیمیلایون رایج تأمین نگردد، کربن و نیتروژن ذخیره شده در بخش‌های مختلف گیاه انتقال مجدد (remobilization) می‌یابد (Juvany et al., 2013; Guiboileau et al., 2010).

اطلاعات چندانی درباره نقش تیوردوکسین‌ها در فرآیند پیری برگ در دسترس نمی‌باشد. با توجه به این‌که بسیاری از آنزیم‌هایی که در فرآیند پیری برگ فعال می‌شوند به‌عنوان اهداف بالقوه تیوردوکسین شناسائی شده‌اند (Alkhalfioui et al., 2007; Montrichard et al., 2009). بنابراین در پژوهش حاضر برای درک بهتر نقش تیوردوکسین‌ها از جهش‌یافته‌های تیوردوکسین ردوکناز-سی (NTRC) استفاده شد تا به این سوال اساسی پاسخ داده شود که آیا اختلال این سیستم تیوردوکسینی از طریق جهش می‌تواند منجر به تغییرات بیوشیمیائی در میزان رنگدانه‌ها، پروتئین‌ها و فعالیت آنزیم‌ها در طی پیری گردد؟ در این راستا بررسی مقایسه‌ای فرآیند پیری برگ در گیاهان آرآیدوپسیس وحشی و جهش‌یافته صورت گرفت تا به این طریق نقش این دسته از پروتئین‌های تیوردوکسینی در تنظیم ردوکس فرآیند پیری آشکار شود.

که دارای دومین C-ترمینال تیوردوکسینی می‌باشد (Serrato et al., 2004) که در این پژوهش، مطالعه بر روی دو لاین از جهش‌یافته‌های این پروتئین به نام‌های ۰۹۶۷۷۶ و ۱۱۴۲۹۳ صورت می‌گیرد.

فوتوپ باریز لاین‌های جهش‌یافته این ژن رنگ سبز پریده و کندی رشد است (Lepisto et al., 2008). پیشنهاد شده که NTRC در کنترل واکنش‌های مهم چندگانه کلروپلاست شرکت می‌کند (Rintamaki et al., 2009). مطالعه برخی گیاهان جهش‌یافته نقش تیوردوکسین‌ها را در نمو کلروپلاست، کارآئی دستگاه فتوسنتزی، محتوی رنگیزه‌ها از جمله کلروفیل، کارتنوئیدها و گزانتوفیل، عملکرد دانه، احیاء پروکسی‌ردوکسین و محافظت در مقابل تنش اکسیداتیو نشان داده است (Collin et al., 2004; Serrato et al., 2004; Perez-Ruiz et al., 2006; Chi et al., 2008). به علاوه مطالعات پروتئومیکس در دانه‌های در حال رویش برخی از آنزیم‌های هدف بالقوه تیوردوکسین از قبیل آنزیم‌های سوپرکسید دیسموتاز، آسکوربات پراکسیداز، دهیدروآسکوربات ردوکناز، کاتالاز، گلوکاتایون پراکسیداز، پروکسی‌ردوکسین، گلوکاتامات دهیدروژناز، گلوکاتامین سنتتاز، گلوکاتامات سنتاز و سیستئین پروتئاز را گزارش کرده است (Alkhalfioui et al., 2007).

پیری برگ می‌تواند به صورت طبیعی در طی نمو القاء شود یا به‌وسیله عوامل محیطی مانند تاریکی، کمبود مواد غذایی و تنش تحریک شود. در واقع تغییرات بسیار تنظیم‌شده در سطوح فیزیولوژیکی، بیوشیمیائی، مولکولی و سلولی باعث مرگ سلول‌های برگ می‌شود و می‌تواند دارای تأثیرات مثبتی بر گیاه به‌ویژه تحت شرایط نامساعد باشد (Munne-Bosch and Alegre, 2003). پیری برگ اغلب با افزایش تغییر اکسیداتیو ماکرومولکول‌های سلولی به‌وسیله گونه‌های فعال اکسیژن مرتبط است. بعضی از این ترکیبات در مرکز مسیرهای سیگنالینگ در حالت موازنه بوده و می‌توانند به عنوان پیامبرهای ثانویه تعدیل‌کننده فعالیت پروتئین‌ها یا تنظیم‌کننده بیان ژن‌های ویژه‌ای از طریق تغییر وضعیت ردوکس سلولی باشند (Bhattacharjee, 2012). گیاهان علاوه بر سیستم آنتی‌اکسیدانت‌های آنزیمی دارای گروهی از

## مواد و روش‌ها:

**کشت گیاه:** بذره‌های دو لاین SALK\_096776 و SALK\_114293 جهش‌یافته *ntrc* به عنوان هدیه توسط گروه پروفیسور Rintamaki و Lepisto از کشور فنلاند تهیه شدند که جایگاه ورود T-DNA در آنها به ترتیب در ایترون ۸ و اگزون ۹ می‌باشد. به منظور شکستن خواب، بذرها به مدت ۴ روز درون یخچال در دمای ۴ درجه سانتیگراد سرمادهی شدند و کشت بذرها در گلدان‌های مخصوص (جی‌فی‌پات) صورت گرفت. این گلدان‌ها به صورت قرص‌های فشرده حاوی مواد غذایی مورد نیاز برای رویش بذر و رشد گیاهچه بوده که پس از قرار گرفتن در آب، حجیم شده و تبدیل به یک بستر مناسب برای کشت بذرها می‌گردند. دمای متوسط اتاقک کشت ۲۵ درجه سانتی‌گراد و گیاهان در رژیم ۱۶ ساعت نور و ۸ ساعت تاریکی قرار گرفتند. پس از گذشت ۱۲ روز گیاهچه‌ها برای نشاء به محیط کشت هیدروپونیک حاوی محلول غذایی هوگلند (غلظت یک دوم هوگلند تعدیل شده) انتقال یافتند. بعد از گذشت ۴۰ روز از زمان کاشت بذر، گیاهان به مدت ۳ و ۶ روز برای القاء پیری در تاریکی قرار گرفتند. گیاهان شاهد مربوط در این حالت گیاهانی بودند که به مدت ۳ و ۶ روز رژیم عادی نوری را دریافت کرده بودند. آنالیزهای بیوشیمیایی بر روی کلیه گیاهان قبل از شروع تیمار و سپس در گیاهان ۳ و ۶ روز تیمار و شاهدان هم‌سن آنها صورت گرفت. این آزمایش در طرح کاملاً تصادفی و با سه تکرار انجام شد.

**استخراج آنزیم‌های آسکوربات پراکسیداز، کاتالاز، گایاکول پراکسیداز محلول و پلی‌فنل‌اکسیداز:** استخراج فعالیت‌های آنزیمی با استفاده از روش Mishra و Kar (۱۹۷۶) صورت گرفت. مقدار ۰/۰۵ گرم بافت در هاون چینی سرد با ۲ میلی‌لیتر بافر فسفات مونوسدیک ۰/۱ مولار با اسیدیته ۶/۸ هموزن گردید. هموزن حاصل به مدت ۱۵ دقیقه با شتاب ۱۶۰۰۰g در دمای ۴ درجه سانتی‌گراد سانتریفیوژ شد. از روشناور (سوپرناتانت) به‌دست آمده برای اندازه‌گیری فعالیت آنزیم‌ها و همچنین مقدار پروتئین‌های محلول استفاده شد. میزان پروتئین محلول به روش Bradford (۱۹۷۶) اندازه‌گیری شد.

**اندازه‌گیری فعالیت آنزیم‌ها:** فعالیت آنزیم آسکوربات پراکسیداز به روش Asada و Nakano (۱۹۸۱) با اندکی تغییرات انجام شد. مخلوط واکنش به حجم نهایی ۲ میلی‌لیتر شامل بافر فسفات مونوسدیک ۲۵۰ میلی‌مولار (pH=۷)، اسید آسکوربیک ۰/۵ میلی‌مولار، EDTA ۰/۱ میلی‌مولار، آب اکسیژنه ۱/۲ میلی‌مولار و ۲۰۰ میکرولیتر عصاره آنزیمی بود. محلول بلانک فاقد آب اکسیژنه بود و کاهش جذب نور ناشی از پراکسیداسیون اسید آسکوربیک در طول موج ۲۹۰ نانومتر به مدت ۳ دقیقه ثبت گردید. فعالیت آنزیم با استفاده از ضریب خاموشی (E) معادل با  $2/8 \text{ mmol.L}^{-1}.\text{cm}^{-1}$  مربوط به آسکوربات محاسبه گردید.

اندازه‌گیری فعالیت آنزیم‌های کاتالاز و پراکسیداز با استفاده از روش Maehly و Chance (۱۹۵۵) و اندازه‌گیری فعالیت آنزیم پلی‌فنل‌اکسیداز بر اساس روش Mishra و Kar (۱۹۷۶) همراه با تغییراتی انجام شد. مخلوط واکنش آنزیم کاتالاز به حجم نهایی ۳ میلی‌لیتر شامل بافر فسفات ۵۰ میلی‌مولار با اسیدیته ۶/۸، آب اکسیژنه ۱۵ میلی‌مولار و ۱۰۰ میکرولیتر عصاره آنزیمی بود. با اضافه کردن عصاره آنزیمی به مخلوط واکنش تجزیه  $\text{H}_2\text{O}_2$  شروع گردید. ضریب خاموشی (E) برای  $\text{H}_2\text{O}_2$  در طول موج ۲۴۰ نانومتر  $40 \text{ (L.mmol}^{-1}.\text{cm}^{-1})$  بود که از آن برای محاسبه فعالیت آنزیم استفاده شد.

مخلوط واکنش آنزیم گایاکول پراکسیداز به حجم نهایی ۳ میلی‌لیتر شامل بافر فسفات ۲۵ میلی‌مولار با اسیدیته ۶/۸، گایاکول ۲۰ میلی‌مولار، آب اکسیژنه ۴۰ میلی‌مولار و ۱۰۰ میکرولیتر عصاره آنزیمی بود. ضریب خاموشی (E) تترآگایاکول در طول موج ۴۷۰ نانومتر  $26/6 \text{ (L.mmol}^{-1}.\text{cm}^{-1})$  بود که از آن برای محاسبه فعالیت آنزیم استفاده شد. مخلوط واکنش آنزیم پلی‌فنل‌اکسیداز به حجم نهایی ۳ میلی‌لیتر شامل بافر فسفات ۲۵ میلی‌مولار با اسیدیته ۶/۸، پیروگال ۱۰ میلی‌مولار و ۲۰۰ میکرولیتر عصاره آنزیمی بود. فعالیت آنزیم در طول موج ۴۲۰ نانومتر اندازه‌گیری شد و ضریب خاموشی برای پورپوروگالین تولید شده  $2/47 \text{ (L.mmol}^{-1}.\text{cm}^{-1})$  بود که برای برآورد فعالیت آنزیم به‌کار رفت (Resende et al., 2002).

**استخراج و اندازه‌گیری فنل محلول، قندها و نشاسته:**

استخراج فنل و قندها بر اساس روش Fukuda و همکاران (۲۰۰۳) همراه با تغییراتی انجام شد. در این روش به ۰/۰۵ گرم از بافت تر نمونه، ۵ میلی‌لیتر اتانول ۸۰ درصد اضافه گردید و عمل استخراج در ۵ مرحله صورت گرفت. استخراج نشاسته به روش McCready و همکاران (۱۹۵۰) از رسوب به دست آمده پس از استخراج قندهای محلول انجام شد. فنل محلول کل بر اساس روش Butler و Price (۱۹۷۷) اندازه‌گیری گردید. قند محلول کل به روش McCready و همکاران (۱۹۵۰)، قندهای غیراحیایی به روش Handel (۱۹۶۸) و قندهای احیایی به روش Prado و همکاران (۱۹۹۸) اندازه‌گیری شدند.

**اندازه‌گیری کلروفیل، کارتنوئید و آنتوسیانین: اندازه‌گیری**

کلروفیل‌ها و کارتنوئیدها به روش Arnon (۱۹۴۹) و اندازه‌گیری میزان آنتوسیانین به روش Mita (۱۹۹۷) انجام شد. **آنالیزهای آماری:** به منظور آنالیز و تجزیه و تحلیل داده‌ها از نرم‌افزار Excel و SAS استفاده شد. برای مقایسه‌ی میانگین داده‌ها از آزمون Duncan استفاده گردید.

**نتایج:**

در این مطالعه صفات رشد مورد اندازه‌گیری قرار گرفت و نتایج حاکی از آن بود که میزان وزن تر و خشک بخش هوایی و ریشه و طول بخش هوایی در گیاه وحشی نسبت به هر دو لاین جهش‌یافته *ntrc* و همچنین در نمونه‌های شاهد (۳ و ۶ روزه) نسبت به تیمار تاریکی افزایش معنی‌داری داشت. اما طول ریشه در لاین ۱۱۴۲۹۳ نسبت به گیاه وحشی و لاین ۰۹۶۷۷۶ افزایش معنی‌داری را نشان داد. در هر حال تفاوت طول ریشه بین گیاهان شاهد وحشی و دو لاین جهش‌یافته با تیمار تاریکی همان گیاهان به جز کاهش معنی‌دار مشاهده شده در روز سوم تیمار تاریکی لاین ۱۱۴۲۹۳ نسبت به شاهد آن، معنی‌دار نبود (شکل ۱- A، B و C).

میزان کلروفیل *a* در گیاه وحشی در کل دوره تیمار تاریکی و در جهش‌یافته *ntrc* لاین ۰۹۶۷۷۶ در روز سوم کاهش معنی‌داری را با همان گیاهان در شرایط شاهد نشان داد، و

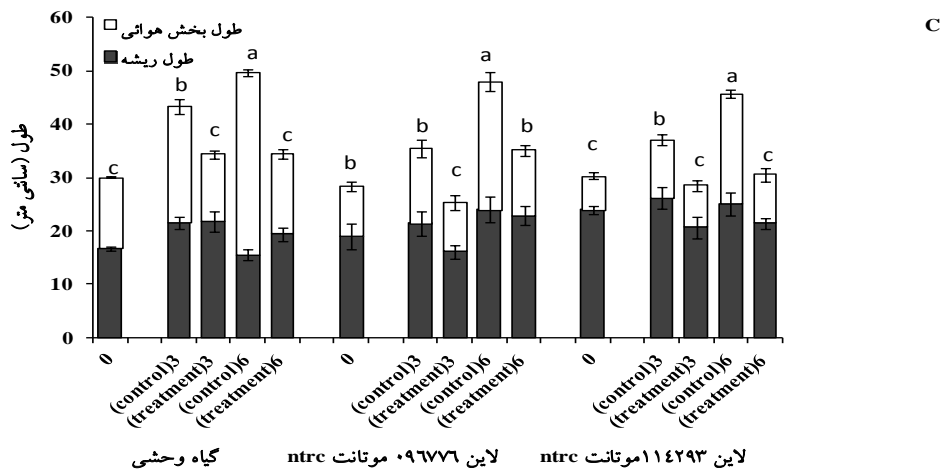
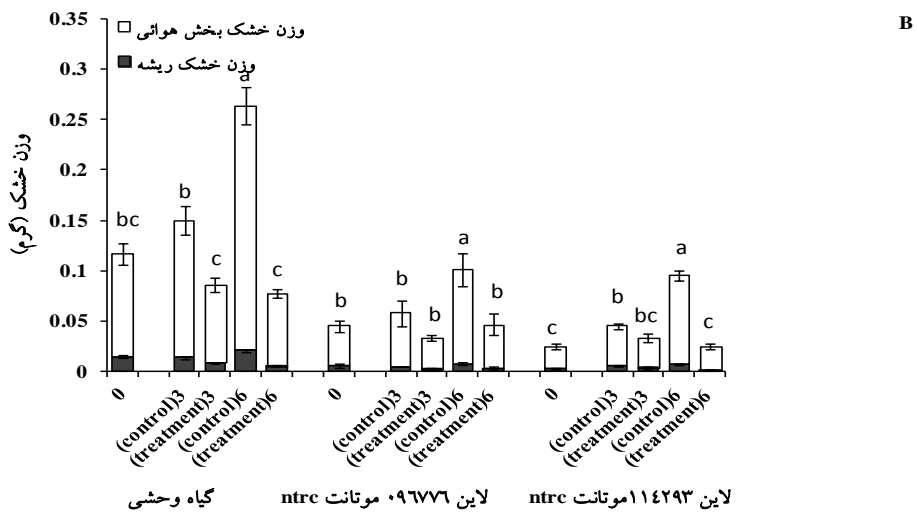
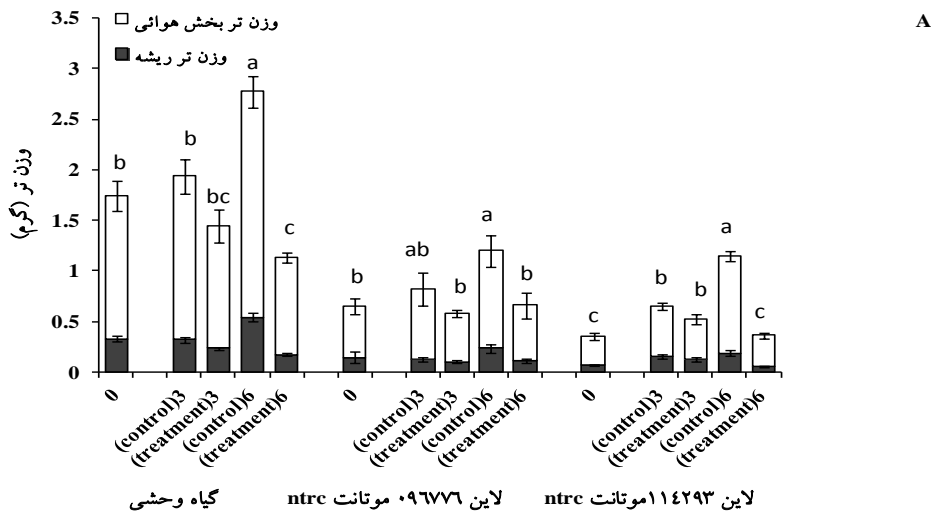
میزان کلروفیل *b* در گیاه وحشی در روز ششم تیمار تاریکی و در جهش‌یافته *ntrc* لاین ۰۹۶۷۷۶ در روز سوم کاهش معنی‌داری را با همان گیاهان در شرایط شاهد نشان داد، در لاین ۱۱۴۲۹۳ تفاوت معنی‌دار مشاهده نشد اما الگوی تغییرات میزان کلروفیل کل در هر سه گروه مشابه بود. در مجموع میزان کلروفیل *a* و *b* و کلروفیل کل در لاین‌های جهش‌یافته نسبت به گیاه وحشی و در تیمار پیری نسبت به کنترل کاهش معنی‌داری را نشان دادند. (شکل ۲).

میزان کارتنوئید گیاه وحشی در روز سوم و ششم تیمار تاریکی نسبت به شاهد همان گیاه به‌ویژه در روز سوم کاهش معنی‌داری را نشان داد. در لاین‌های ۰۹۶۷۷۶ و ۱۱۴۲۹۳ نیز تیمار تاریکی سبب کاهش میزان کارتنوئیدها گردید و این کاهش در لاین ۰۹۶۷۷۶ در روز سوم تیمار تاریکی نسبت به شاهد مربوط معنی‌دار بود و در لاین ۱۱۴۲۹۳ در روز سوم تیمار تاریکی کاهش معنی‌داری را نسبت به روز ششم تیمار تاریکی و شاهد آن نشان داد (شکل ۳). در مجموع میزان کارتنوئید در هر دو لاین جهش‌یافته نسبت به گیاه وحشی و در تیمار تاریکی نسبت به شرایط کنترل کاهش معنی‌داری را نشان دادند.

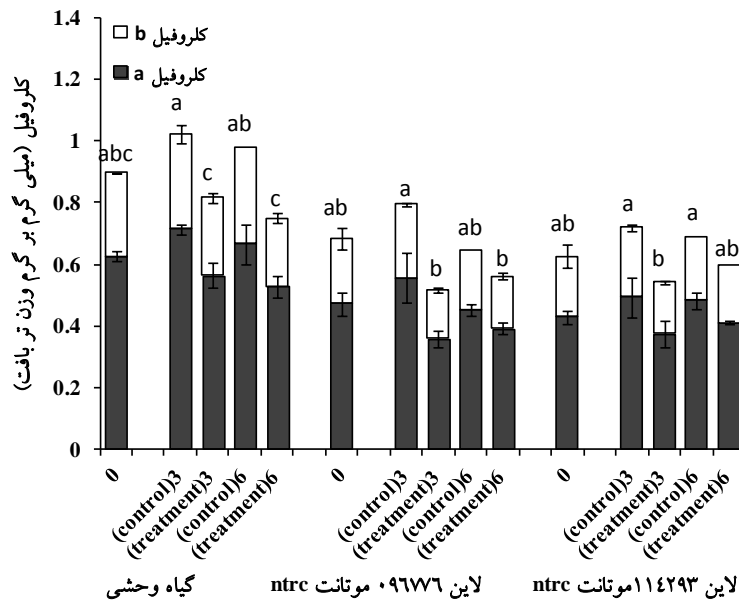
میزان آنتوسیانین در گیاه وحشی و جهش‌یافته *ntrc* لاین ۱۱۴۲۹۳ در روز ششم تیمار تاریکی افزایش معنی‌داری را با کل دوره نشان داد اما در لاین ۰۹۶۷۷۶ تفاوت معنی‌داری را در کل دوره نشان نداد. در مجموع میزان آنتوسیانین در طی تیمار پیری افزایش معنی‌داری را نسبت به شرایط کنترل نشان داد. (شکل ۴).

میزان فنل محلول کل در گیاه وحشی و لاین ۰۹۶۷۷۶ در کل دوره تفاوت معنی‌داری را نشان نداد، اما در لاین ۱۱۴۲۹۳ در روز سوم تیمار تاریکی کاهش معنی‌داری نسبت به گیاهان شاهد همان روز و زمان صفر نشان داد (شکل ۵).

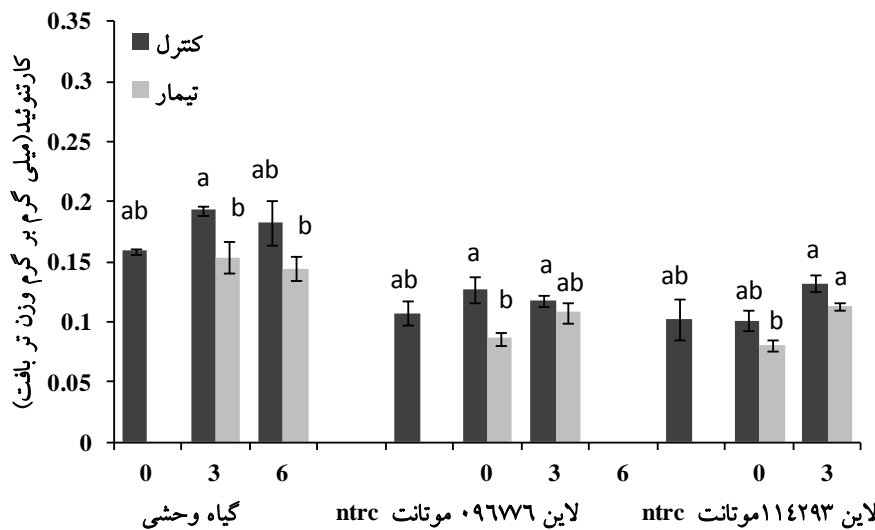
میزان نشاسته در گیاه وحشی در روز سوم و ششم تیمار تاریکی نسبت به شاهد روز سوم و ششم کاهش معنی‌داری داشت، اما در لاین ۰۹۶۷۷۶ میزان نشاسته در کل دوره تاریکی تفاوت معنی‌داری را با گیاهان شاهد همان دوره نداشت و در



شکل ۱- (A الی C) - مقایسه وزن تر ریشه و بخش هوایی، وزن خشک ریشه و بخش هوایی، طول ریشه و بخش هوایی بین گیاه وحشی و دو لاین موتانت *ntrc* در زمان صفر، روز سوم و ششم تیمار تاریکی و شاهد روز سوم و ششم. میله های روی هر یک از ستون ها، خطای استاندارد را در هر گروه نشان می دهد و ستون های دارای حداقل یک حرف مشترک با آزمون دانکن در سطح ۵ درصد با یکدیگر تفاوت معنی داری ندارند که مربوط به (A) وزن تر کل، (B) وزن خشک کل و (C) طول کل گیاه می باشد.



شکل ۲- مقایسه میزان کلروفیل a و b و کلروفیل کل بین گیاه وحشی و دو لاین موتانت *ntrc* در زمان صفر، روز سوم و ششم تیمار تاریکی و شاهد روز سوم و ششم. میله‌های روی هر یک از ستون‌ها خطای استاندارد مربوط به کلروفیل a و کلروفیل b و حروف مشخص شده بر روی هر ستون تفاوت میزان کلروفیل کل را نشان می‌دهد.



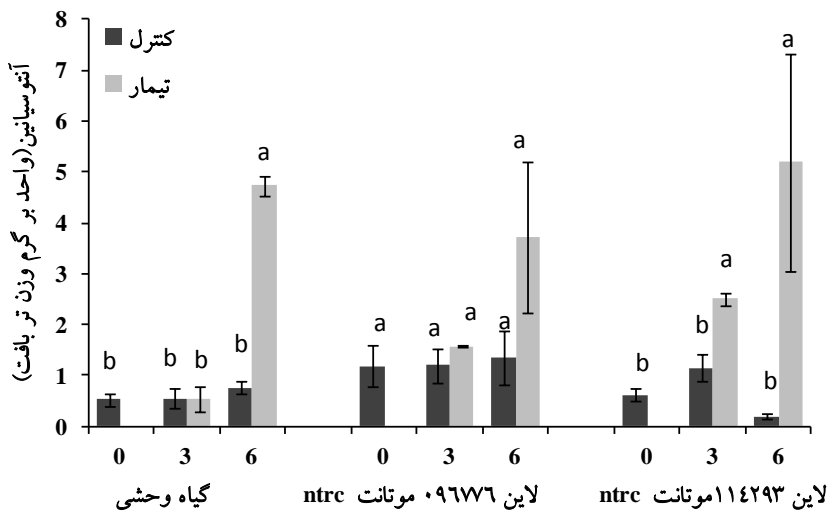
شکل ۳- مقایسه میزان کارتنوئید بین گیاه وحشی و دو لاین موتانت *ntrc* در زمان صفر، روز سوم و ششم تیمار تاریکی و شاهد روز سوم و ششم.

لاین ۰۹۶۷۷۶ و ۱۱۴۲۹۳ میزان قند کل در روز ششم تیمار تاریکی نسبت به شروع تیمار افزایش معنی‌داری یافت و به‌ویژه در لاین ۱۱۴۲۹۳ در روز ششم تیمار تاریکی افزایش قند کل با شاهد همان دوره معنی‌دار بود (شکل ۷- A).

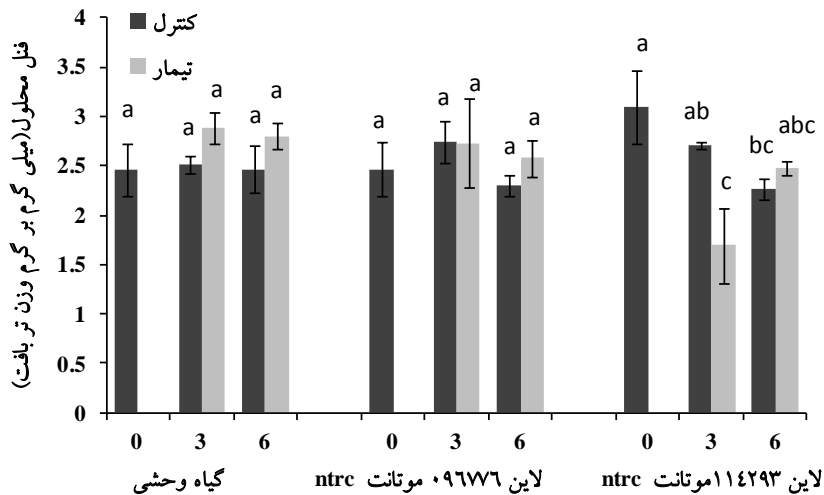
میزان قند احیائی در گیاه وحشی در شرایط شاهد پس از ۶ روز کاهش یافت ولی تیمار تاریکی به مدت ۶ روز سبب حفظ

لاین ۱۱۴۲۹۳ در تیمار تاریکی روز سوم نسبت به شاهد روز سوم کاهش معنی‌داری داشت در هر صورت در این لاین میزان نشاسته در روشنایی در روز سوم افزایش قابل ملاحظه‌ای یافت (شکل ۶).

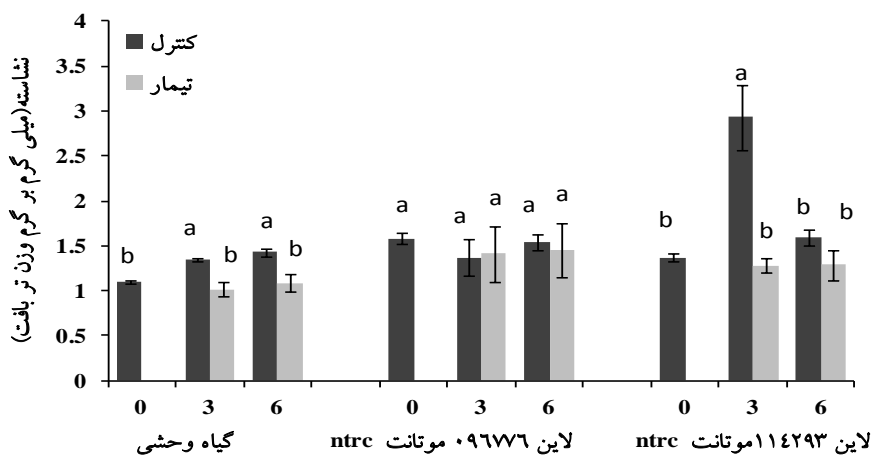
میزان قند کل در گیاه وحشی در کل دوره تاریکی تفاوت معنی‌داری نسبت به گیاهان شاهد هم‌دوره نشان نداد. در هر دو



شکل ۴- مقایسه میزان آنتوسیانین بین گیاه وحشی و دو لاین موتانت *ntrc* در زمان صفر، روز سوم و ششم تیمار تاریکی و شاهد روز سوم و ششم.



شکل ۵- مقایسه میزان فنل محلول بین گیاه وحشی و دو لاین موتانت *ntrc* در زمان صفر، روز سوم و ششم تیمار تاریکی و شاهد روز سوم و ششم.



شکل ۶- مقایسه میزان نشاسته بین گیاه وحشی و دو لاین موتانت *ntrc* در زمان صفر، روز سوم و ششم تیمار تاریکی و شاهد روز سوم و ششم.

تغییرات فعالیت آنزیمی در بافت صرفنظر از تغییرات مقدار پروتئین سنجیده می‌شود و در این مطالعه از این روش استفاده شد.

روند تغییر فعالیت آنزیم آسکوربات پراکسیداز در گیاه وحشی و لاین ۱۱۴۲۹۳ در شرایط شاهد و تیمار تاریکی دارای الگوی یکسانی بود (شکل ۹-A). در هر دو گیاه فعالیت این آنزیم ابتدا در روز سوم کاهش و سپس در روز ششم افزایش یافت. در لاین ۰۹۶۷۷۶ در روز سوم تیمار تاریکی نسبت به شاهد همان روز فعالیت آنزیم به شدت کاهش یافت ولی تفاوتی در فعالیت آنزیم در روز ششم بین گیاهان تیمار تاریکی با شاهد مشاهده نشد.

فعالیت آنزیم کاتالاز در گیاه وحشی و جهش‌یافته *ntrc* لاین ۰۹۶۷۷۶ در روز سوم تیمار تاریکی نسبت به شاهد مربوط کاهش معنی‌داری را نشان دادند. در لاین ۱۱۴۲۹۳ در روز سوم و ششم تیمار تاریکی و شاهد مربوط نسبت به زمان صفر کاهش معنی‌داری را نشان داد (شکل ۹-B) در مجموع فعالیت آنزیم کاتالاز در دو لاین جهش‌یافته نسبت به گیاه وحشی افزایش معنی‌دار و در تیمار تاریکی نسبت به شرایط کنترل کاهش معنی‌دار نشان داد.

فعالیت آنزیم پراکسیداز در لاین‌های جهش‌یافته در کل بیشتر از گیاه وحشی بود (شکل ۹-C). تیمار تاریکی سبب افزایش معنی‌دار فعالیت این آنزیم در روز ششم (در گیاهان وحشی و لاین ۰۹۶۷۷۶) و روز سوم و ششم (لاین ۱۱۴۲۹۳) نسبت به گیاهان شاهد مربوط گردید.

فعالیت آنزیم پلی‌فنل‌اکسیداز نیز در دو لاین جهش‌یافته در کل بیشتر از گیاه وحشی بود (شکل ۹-D). تیمار تاریکی سبب افزایش معنی‌دار فعالیت این آنزیم در روز ششم (در لاین ۰۹۶۷۷۶) و روز سوم (لاین ۱۱۴۲۹۳) نسبت به گیاهان شاهد مربوط گردید.

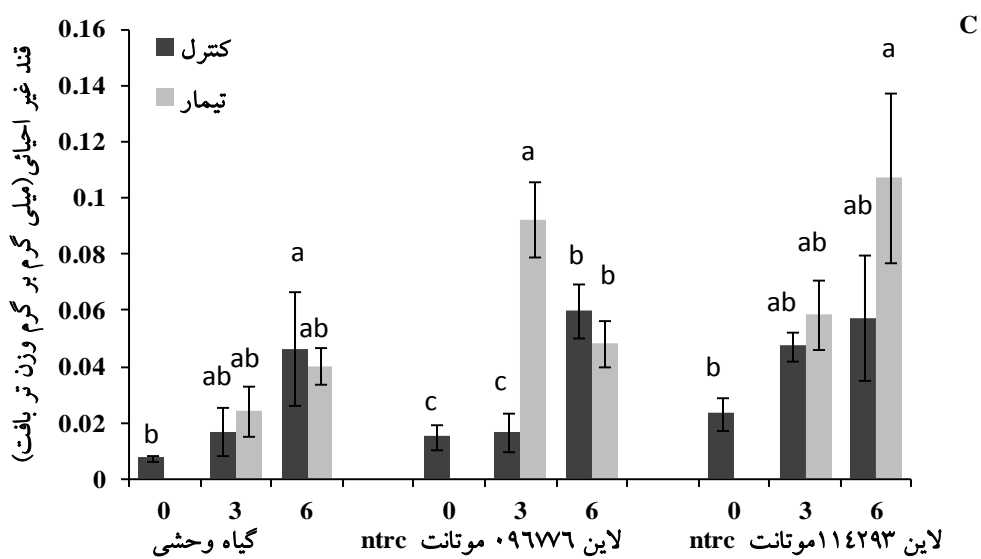
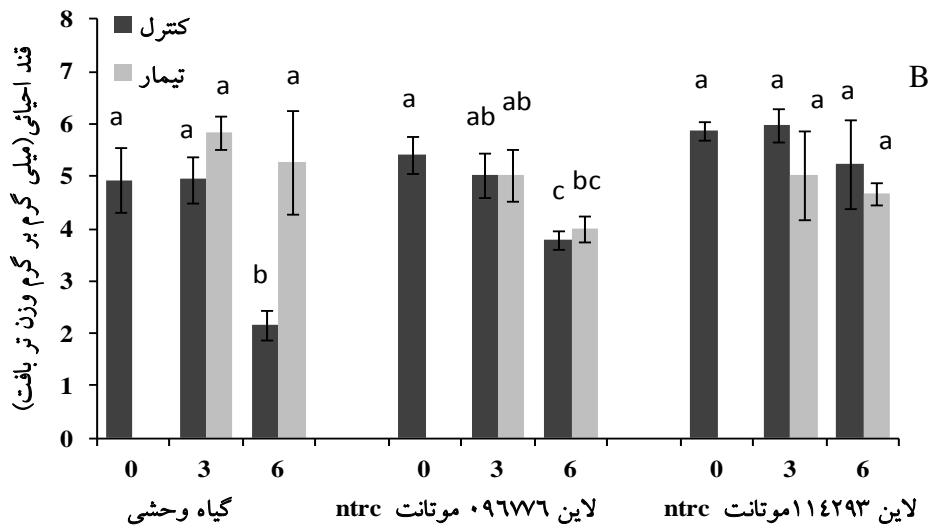
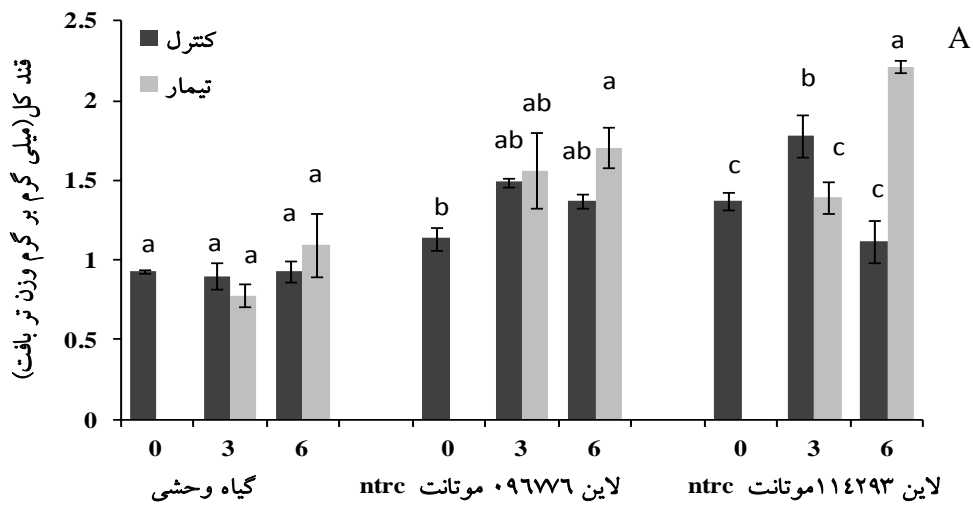
جدول آنالیز واریانس نشان داد که برهمکنش ژنوتیپ گیاه و تیمار، ژنوتیپ گیاه و زمان، ژنوتیپ گیاه و زمان در مورد آنزیم‌های آسکوربات پراکسیداز، کاتالاز، پراکسیداز و پلی‌فنل‌اکسیداز معنی‌دار بودند (جدول ۱).

میزان قندهای احیایی در سطح برابر با گیاهان شاهد در شروع آزمایش گردید. روند تغییر قند احیایی در لاین ۰۹۶۷۷۶ در گیاهان شاهد و تیمار تاریکی در طی دوره ۶ روز کاهش بود و به لحاظ مقدار قند متفاوت نبودند اما در لاین ۱۱۴۲۹۳ میزان قند احیایی در کل دوره چه در گیاهان شاهد و تیمار تاریکی ثابت باقی‌ماند و تفاوت معنی‌داری از لحاظ میزان قندهای احیایی بین این دو دسته وجود نداشت (شکل ۷-B). میزان قندهای غیراحیایی در گیاهان وحشی و هر دو لاین جهش‌یافته در شرایط شاهد افزایش یافت (شکل ۷-C). برخلاف گیاهان وحشی، میزان قندهای غیراحیایی در هر دو لاین جهش‌یافته در شرایط تاریکی افزایش معنی‌داری را در روز سوم برای لاین ۰۹۶۷۷۶ و در روز ششم برای لاین ۱۱۴۲۹۳ نسبت به گیاهان شاهد همان دوره نشان داد.

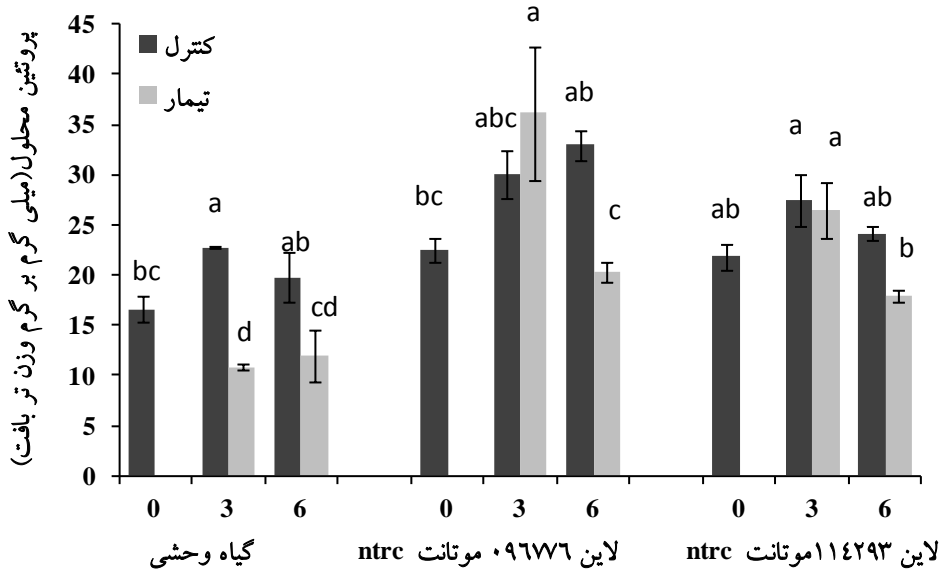
میزان پروتئین محلول گیاه وحشی در روزهای سوم و ششم تیمار تاریکی نسبت به گیاهان شاهد در زمانهای مشابه کاهش معنی‌داری یافت (شکل ۸). برخلاف گیاهان وحشی کاهش پروتئین محلول در تاریکی در لاین‌های ۰۹۶۷۷۶ و ۱۱۴۲۹۳ صرفاً در روز ششم در مقایسه با گیاهان شاهد مربوط مشاهده گردید. در مجموع میزان پروتئین محلول در لاین‌های ۰۹۶۷۷۶ و ۱۱۴۲۹۳ نسبت به گیاه وحشی افزایش معنی‌داری یافت. همچنین تیمار تاریکی نسبت به شرایط کنترل سبب کاهش معنی‌داری در پروتئین محلول گردید.

به‌طور معمول فعالیت آنزیمی در عصاره استخراج شده را به دو روش گزارش می‌کنند. فعالیت ویژه (*specific activity*)، که در این حالت میزان فعالیت آنزیم بر مبنای مقدار پروتئین استخراج شده بیان می‌شود. این روش بیشتر برای مطالعات تخلیص آنزیم سودمند بوده زیرا بیانی از کل فعالیت را بدست ندهد و تابعی از پروتئین استخراج شده است که پارامتر اخیر بویژه می‌تواند بسته به بافت و یا شرایطی که بافت در آن قرار می‌گیرد و نوع حلال بکار رفته بسیار تغییر کند. روش دوم ثبت فعالیت کل آنزیم (*total activity*) است که در آن کل فعالیت استخراج شده بر واحد وزن تر بافت بیان شده و در مطالعات فیزیولوژیکی کارایی بهتری برای تفسیر داده‌ها دارد. زیرا





شکل ۷- (A الی C) - مقایسه میزان قند محلول کل، قند احيائي و قند غير احيائي بين گیاه وحشی و دو لاين موتانت *ntrc* در زمان صفر، روز سوم و ششم تیمار تاریکی و شاهد روز سوم و ششم.



شکل ۸- مقایسه میزان پروتئین محلول بین گیاه وحشی و دو لاین موانت ntrc در زمان صفر، روز سوم و ششم تیمار تاریکی و شاهد روز سوم و ششم.

جدول ۱- آنالیز واریانس برخی از پارامترها تحت تأثیر تیپ، تیمار و زمان و تأثیر متقابل آنها بر یکدیگر.

منابع تغییرات	درجه آزادی	پروتئین محلول	کاتالاز	آسکوربات پراکسیداز	پراکسیداز	پلی فنل اکسیداز
تیپ	۲	۵۵۲/۳۰۱**	۱۷۳۰۰۷/۴۷۸**	۵۸۱۳۹۳۵/۲**	۸۵۶۴۹۴۰۰۸**	۱۱۲۴۱۲۶۰/۴۷**
تیمار	۱	۱۸۷/۰۷۸**	۵۲۷۱۰/۶۲۸**	۳۷۳۷۸۳۱/۶*	۳۲۰۴۴۲۹۴۸**	۲۲۲۲۶۳۵/۶۱**
زمان	۲	۱۴۶/۱۳۷**	۸۴۸۱۴۲/۷۵**	۱۹۱۷۶۷۹۶۰/۱**	۳۴۴۱۳۷۲۹ <sup>ns</sup>	۱۱۵۹۵۳۰/۶۵**
تیپ×تیمار	۲	۲۸/۱۵۵ <sup>ns</sup>	۵۰۴۹۸/۱۴۷**	۱۹۳۲۲۹۷۹/۱**	۱۲۴۱۲۷۴۵۹**	۹۰۴۶۶۳/۸۱*
تیپ×زمان	۴	۴۵/۳۵۶*	۴۲۳۱۰/۶۹۴**	۱۶۲۰۰۲۳۳/۴**	۹۱۶۸۱۷۰/۶**	۸۱۰۴۰۷/۲۱*
تیمار×زمان	۲	۹۵/۴۶۱**	۴۴۱۶۲/۳۸۹**	۲۳۹۳۶۵۹/۳ <sup>ns</sup>	۹۷۳۱۲۲۷۶**	۷۸۹۷۳۱/۷۰*
تیپ×تیمار×زمان	۴	۵۷/۴۳۵*	۴۲۷۰۴/۰۱۵**	۱۷۳۶۵۵۰/۷/۴**	۷۹۲۶۰۷۵۵**	۱۰۴۵۷۹۳/۳۴**
خطا	۳۶	۱۵/۵۵۱۴	۶۸۶۳/۱۵۴	۸۰۴۴۰۵/۷	۱۵۹۶۳۹۰۲	۲۲۲۴۱۵/۰۲
کل	۵۳					

\*\* در سطح کمتر از ۱ درصد معنی دار است. \* در سطح کمتر از ۵ درصد معنی دار است. ns نشان دهنده معنی دار نبودن داده‌ها می‌باشد.

#### بحث:

لاین‌های جهش یافته ntrc بی‌نظمی‌های نموی وابسته به سن و فتوپریود را نشان داده و دارای برگ‌های رنگ سبز پریده و رشد کند می‌باشند.

تاکنون مطالعه‌ای در زمینه پیری القاء شده توسط تاریکی در این گیاهان گزارش نشده است. نتایج به دست آمده در این تحقیق نشان داد که جهش در ژن NTRC سبب تغییرات بارزی

تحقیقات نشان داده که تیمار تاریکی به میزان زیادی سرعت پیری را تشدید می‌کند و مکرراً برای مطالعات پیری بکار رفته است (Weaver et al., 1998). مطالعات انجام شده توسط Lepisto و همکاران (۲۰۰۸) حاکی از این است که

مطالعه حاضر نشان داد که تیمار تاریکی نسبت شرایط کنترل سبب کاهش میزان پروتئین می‌شود (شکل ۸). در ژنوم آرابیدوپسیس بیان بیشتر ژن‌های کدکننده پروتئین‌های کلروپلاستی در برگ‌های در حال پیری گزارش شده است (Liu *et al.*, 2008)، که می‌تواند توجیه‌کننده کاهش پروتئین در طی تیمار تاریکی در این گیاهان باشد؛ در هر صورت میزان پروتئین گیاهان جهش‌یافته نسبت به گیاهان وحشی بیشتر بود و این افزایش قابل توجه در موتانت SALK\_096776 مشاهده شد. این امر شاید با در نظر داشتن نقش بسیار گسترده پروتئین‌های تیوردوکسین در تنظیم واکنش‌های ردوکس قابل توجیه باشد (Alkhalfoui *et al.*, 2007)، که در این حالت فعالیت پروتئین‌ها در این جهش یافته بیشتر تحت تأثیر قرار گرفته و در جهت تجزیه پروتئین‌ها ناکارآمدتر عمل کرده بنابراین میزان پروتئین‌ها در آن بیشتر است. علاوه بر این با توجه به این‌که تیوردوکسین‌ها از طریق احیاء پروتئین‌های ذخیره‌ای باعث انحلال و افزایش حساسیت آنها نسبت به پروتئین‌ها می‌گردند (Kobrehel *et al.*, 1992)، احتمالاً نقص ایجاد شده در سیستم تیوردوکسین از طریق جهش در پروتئین *NTRC* منجر به اختلال در عملکرد پروتئین‌ها در فرایند تجزیه پروتئین‌ها در گیاهان جهش‌یافته شده است.

میزان فنل محلول در لاین ۱۱۴۲۹۳ در روز سوم تیمار تاریکی نسبت به شاهد آن کاهش معنی‌داری را نشان داد، اما در مجموع در بقیه دوره‌ها تفاوت معنی‌داری مشاهده نشد (شکل ۵). کاهش میزان فنل به موازات افزایش فعالیت آنزیم پلی‌فنل‌اکسیداز در تیمار تاریکی می‌تواند مبین این امر باشد که مصرف فنل‌های محلول در طی فرآیند پالایش رادیکال‌های آزاد تحت استرس اکسیداتیو ایجاد شده بیشتر شده است. فنل‌ها از ترکیبات دارای پتانسیل آنتی‌اکسیدانتی می‌باشند (Stankovic *et al.*, 2012) و به عنوان عوامل دهنده الکترون یا هیدروژن، سلول‌ها را در مقابل گونه‌های فعال اکسیژن محافظت می‌کنند و به عنوان «آنتی‌اکسیدانت‌های طبیعی در گیاه و دارا بودن ویژگی‌های ردوکس (Halliwell *et*

در فنوتیپ گیاه در طی پیری القاء شده توسط تاریکی می‌گردد. به این صورت که در این گیاهان پدیدار شدن رنگ زرد برگ‌ها که یکی از مارکرهای شاخص پیری می‌باشد با سرعت و شدت بیشتری نسبت به گیاهان وحشی اتفاق می‌افتد و کاهش معنی‌داری در وزن تر و خشک بخش هوایی و ریشه گیاهان جهش‌یافته نسبت به گیاه وحشی و در گیاهان قرار گرفته در تاریکی نسبت به شرایط کنترل ایجاد می‌گردد. علیرغم این امر طول ریشه در لاین ۱۱۴۲۹۳ نسبت به گیاه وحشی و لاین ۰۹۶۷۷۶ بیشتر بود (شکل ۱- A, B, C). در طی پیری برگ‌های آفتابگردان نیز میزان وزن خشک توده برگ‌ها کاهش پیدا کرد (Aguera *et al.*, 2012). در لاین بیش بیان شده ژن ARABIDOPSIS A FIFTEEN آرابیدوپسیس، طویل شدن ریشه‌ها و تشدید تشکیل تارهای کشنده (Chen *et al.*, 2012) را مربوط به عمل سیگنالی گونه‌های فعال اکسیژن در لوکوپلاست ریشه دانسته‌اند که نمو ریشه را تنظیم می‌کند (Dunand *et al.*, 2007). با توجه به فنوتیپ ریشه‌های طویل در گیاهان جهش‌یافته این احتمال وجود دارد که میزان گونه‌های فعال اکسیژن در ریشه‌های این گیاهان نیز بالا باشد.

ارزیابی میزان کلروفیل و کارتنوئید در گیاهان وحشی و جهش‌یافته *ntrc* نشان داد که میزان کلروفیل a, b و کلروفیل کل و کارتنوئید در گیاهان جهش‌یافته نسبت به گیاه وحشی و در طی تیمار تاریکی نسبت به شرایط کنترل کاهش معنی‌داری پیدا کرد (اشکال ۲ و ۳). مطالعات Lepisto و همکاران (۲۰۰۹) نیز نشان داد که گیاهان جهش‌یافته *ntrc* ۱۴ و ۷۰ روزه تحت شرایط روز کوتاه میزان کلروفیل کل کمتری نسبت به گیاه وحشی داشتند. در طی ۶ روز تیمار تاریکی در تره آبی و در طی پیری طبیعی در برگ‌های آفتابگردان و آلو میزان کلروفیل و کارتنوئید کاهش پیدا کرد (Scebba *et al.*, 2001; Karatas *et al.*, 2010; Aguera *et al.*, 2012).

شواهد اخیر نشان می‌دهد که تغییرات رنگ سلولی در طی پیری برگ منعکس‌کننده کاتابولیسم کلروفیل بوده و مستقیماً با تنظیم تجزیه نیترژن و جذب مجدد پروتئین‌های تیلاکوئید مرتبط می‌باشد (Ougham *et al.*, 2005).

نه با فعالیت فتوسنتزی و بیشتر به علت هیدرولیز نشاسته می‌باشد زیرا سرعت تثبیت دی‌اکسیدکربن در طی پیری کاهش پیدا می‌کند. همچنین افزایش میزان قندهای محلول در طی پیری ممکن است به علت کاهش تمامیت ساختاری و عملکردی در غشاهای سلولی باشد که موجب تقویت کاتابولیسم لیپید غشائی و ازاین‌رو سبب تولید قند به‌وسیله مسیر گلوکونئوزن گرد (Buchanan-Wollaston *et al.*, 2003b; Lim *et al.*, 2007).

میزان آنتوسیانین در گیاه جهش‌یافته تفاوت معنی‌داری را با گیاه وحشی نشان نداد اما در تاریکی نسبت به شرایط کنترل افزایش یافت (شکل ۴). بسیاری از استرس‌های محیطی سبب تحریک میزان آنتوسیانین در بافت‌های رویشی می‌شوند (Graf *et al.*, 2010). آنتوسیانین در لایه‌های مزوفیل پیرامونی، نردبانی و اپیدرمی برگ‌های در معرض نور شدید قرار گرفته و شدت نور را کاهش می‌دهد و به عنوان حفاظت‌کننده نوری دستگاه فتوسنتزی در طی پیری عمل می‌کند (Mittler, 2002). با توجه به این‌که قندهای محلول نیز در شرایط تاریکی کاهش یافت (شکل ۷-A) و از طرفی افزایش میزان قند محلول به احتمال برای شروع سنتز آنتوسیانین ضروری است (Yamakawa *et al.*, 1983; Gollop *et al.*, 2002). به‌نظر می‌رسد احتمالاً قندها در مسیر سنتز آنتوسیانین در شرایط تاریکی مصرف می‌شوند.

در این مطالعه فعالیت آنزیم‌های کاتالاز و آسکوربات پراکسیداز در لاین‌های جهش‌یافته نسبت به وحشی بیشتر بود و در پیری القا شده توسط تاریکی نسبت به کنترل کاهش یافت (شکل ۹-A و B). تفاوت قابل توجه بین کنترل‌های دو لاین بعد از ۳ روز در مورد فعالیت این آنزیم‌ها احتمالاً ناشی از تأثیر تیمار تاریکی است که در مقابل نمونه‌های کنترل کاملاً مشهود است اما در مجموع نیاز به مطالعه بیشتری دارد. از آنجا که این آنزیم‌ها به عنوان اهداف بالقوه تیوردوکسین‌ها شناسایی شده‌اند (Alkhalifioui *et al.*, 2007). به‌نظر می‌رسد سیستم کنترل ردوکس این آنزیم‌ها مختل شده است. آنزیم‌های کاتالاز و آسکوربات پراکسیداز دو آنزیم کلیدی در سمیت‌زدائی پراکسید هیدروژن می‌باشند (Foyer and Noctor, 2000).

(*al.*, 2005) مقادیر بهینه آن می‌تواند حاکی از وضعیت مطلوب‌تر ردوکس سلولی باشد.

در مطالعه حاضر در طی پیری اعمال شده توسط تاریکی میزان نشاسته برخلاف میزان قند که روند افزایشی را نشان داد، نسبت به شرایط کنترل کاهش پیدا کرد (اشکال ۶، ۷-A، B و C). در گیاه تره‌آبی نیز با پیشرفت پیری در طی ۶ روز تیمار تاریکی میزان نشاسته کاهش پیدا کرد (Karatas *et al.*, 2010). به‌نظر می‌رسد که واکنش گیاه در شرایط تاریکی در دو مسیر کاهش فعالیت آنزیم سنتزکننده نشاسته و یا افزایش کاتابولیسم نشاسته به واحدهای کوچک‌تر قند می‌باشد. میزان نشاسته در انتهای سیکل نوری در گیاهان آرایدوپسیس دارای بالاترین مقدار بوده و در پایان دوره تاریکی به‌صورت معنی‌داری کاهش یافت (Graf *et al.*, 2010). مطالعات نشان داده است که آنزیم AGPase به عنوان یکی از اهداف تنظیم ردوکس وابسته به NTRC می‌باشد که این پروتئین سنتز نشاسته را تحت شرایط احیائی فعال می‌کند بنابراین گیاهان جهش‌یافته NTRC تحریک وابسته به ردوکس پائین‌تر آنزیم AGPase را نشان دادند (Michalska *et al.*, 2009; Dietz and Pfannschmidt, 2011). نتایج این مطالعه نشان داد که گیاه جهش‌یافته نسبت به گیاه وحشی میزان نشاسته برابر و در شاهد روز سوم لاین ۱۱۴۲۹۳ جهش‌یافته *ntrc* افزایش معنی‌داری داشت با توجه به این‌که نقش پروتئین تیوردوکسین *fl* در سنتز نشاسته از طریق مطالعه جهش‌یافته تیوردوکسین *fl* محرز شده است و این گزارش که میزان نشاسته در آن کاهش و میزان قند افزایش پیدا کرد، احتمالاً علاوه بر پروتئین NTRC، پروتئین تیوردوکسین FI و یا سایر پروتئین‌های خانواده تیوردوکسین به عنوان سیستم ردوکس جایگزین نقش جبرانی از طریق فعال‌سازی AGPase در سنتز نشاسته دارند (Thormahlen *et al.*, 2012).

همچنین نتایج این مطالعه در مورد میزان قند کل و غیراحیائی که تحت شرایط پیری اعمال شده توسط تاریکی نسبت به شرایط کنترل افزایش پیدا کرد، می‌تواند با دلایل بیان شده در فرآیند پیری در گیاه آفتابگردن هماهنگ باشد که تجمع قندهای محلول در گیاهان پیر با افزایش سن مرتبط شده است

(Zimmermann *et al.*, 2006).

### نتیجه‌گیری:

نتایج این تحقیق نشان داد که بین میزان پروتئین، کلروفیل، کارتنوئید و فعالیت آنزیم‌های آنتی‌اکسیدانت کاتالاز و آسکوربات پراکسیداز و پیشرفت پیری ارتباط هماهنگی وجود دارد در واقع گیاهان تحت تیمار تاریکی در مقایسه با شرایط کنترل کاهش معنی‌داری را در میزان این پارامترها نشان دادند اما فعالیت آنزیم‌های پراکسیداز و پلی‌فنل‌اکسیداز در طی پیری القا شده توسط تیمار تاریکی در مقایسه با گیاهان کنترل افزایش معنی‌داری پیدا کرد. میزان رنگدانه‌های کلروفیل و کارتنوئید در گیاهان جهش‌یافته کاهش معنی‌داری را نسبت به گیاهان وحشی نشان دادند اما میزان پروتئین‌ها و آنزیم‌های آنتی‌اکسیدانت افزایش معنی‌داری پیدا کرد که احتمالاً می‌تواند ناشی از افزایش سنتز پروتئین‌های از قبل وجود داشته یا پروتئین‌های تازه سنتز شده طی تیمار تاریکی باشد.

در مجموع با توجه به اطلاعات موجود در ارتباط با نقش تیوردوکسین‌ها در فرایندهای رشد و نمو و حفاظت کلروپلاست در مقابل تنش اکسیداتیو و نتایج به‌دست‌آمده در این تحقیق، نقش پروتئین‌های مشابه تیوردوکسین (NTRC) در تنظیم ردوکس واکنش‌های مختلف بیوشیمیایی دخیل در فرایند پیری برگ تأیید می‌شود که البته نیاز به تحقیق بیشتری در این زمینه از طریق مطالعه بر روی برخی آنزیم‌های دخیل در متابولیسم کربن و نیتروژن می‌باشد. و این مطالعه اولین گام برای ورود در برنامه‌های اصلاحی در جهت بهبود فرایند تجزیه از برگ‌های در حال پیری و نهایتاً بهبود عملکرد گیاهان زراعی می‌باشد.

(2009) گزارشات متناقضی در مورد فعالیت آنزیم کاتالاز وجود دارد و هر دو روند فعالیت افزایشی و کاهش‌ی این آنزیم در طی پیری گزارش شده است. مثلاً فعالیت کاتالاز در طی پیری برگ‌های برنج و برگ‌های جداشده تنباکو (Parish, 1968)، در طی ۶ روز تیمار تاریکی در تره‌آبی و در برگ‌های پیر گیاهان گرهم‌دار شده نخود فرنگی کاهش و در جو و گندم (Kisban *et al.*, 1964; Karatas *et al.*, 2010) افزایش پیدا کرد. فعالیت آنزیم آسکوربات پراکسیداز هم با پیشرفت پیری در برگ‌های تنباکو کاهش پیدا کرد (Prochazkova *et al.*, 2009).

فعالیت دو آنزیم پراکسیداز و پلی‌فنل‌اکسیداز در پیری القا شده توسط تاریکی افزایش یافت (شکل ۹ - C و D). اهمیت کاربردی افزایش فعالیت پراکسیداز معلوم نیست و ممکن است ناشی از جراحت ایجاد شده به دلیل جدا کردن برگ‌ها باشد؛ در هر صورت افزایش پراکسیداز به عنوان شاخص قابل اعتماد پیری برگ نمی‌باشد. آنزیم پراکسیداز نقش تعیین‌کننده‌ای را در مکانیسم‌های دفاعی در مقابل استرس اکسیداتیو احتمالاً با همکاری دیگر آنتی‌اکسیدانت‌ها ایفا می‌کند. در تره‌آبی و در برگ‌های پیر گیاهان نخود فرنگی نیز با پیشرفت پیری القاء شده با تاریکی فعالیت آنزیم پراکسیداز افزایش یافت (Vanacker *et al.*, 2006; Karatas *et al.*, 2010). البته اعتقاد بر این است که کاهش در فعالیت‌های آنتی‌اکسیدانت نتیجه یا پیامد پیری است تا منشأ آن (Dertinger *et al.*, 2003). علاوه بر این با توجه به اینکه آنزیم‌های آنتی‌اکسیدانت به‌وسیله خانواده چند ژنی با تنظیم و محل ناهمسان کد می‌شوند و دارای سوبستراهائی هستند که به عنوان مولکول سیگنالینگ نیز عمل می‌کنند درک تنظیم هماهنگ آنها بسیار پیچیده است

### منابع:

- are reduced during germination of *Medicago truncatula* seeds. *Plant Physiology* 144: 1559–1579.
- Arner, E. S. and Holmgren, A. (2000) Physiological functions of thioredoxin and thioredoxin reductase. *European Journal of Biochemistry* 267: 6102–6109.
- Arnon, D.I. (1949) Copper enzymes in isolated chloroplasts. Polyphenol oxidase in *Beta vulgaris*. *Plant Physiology* 24: 1-15.
- Aguera, E., Cabello, P., De La Mata, L., Molina, E. and de la Haba, P. (2012) Metabolic Regulation of Leaf Senescence in Sunflower (*Helianthus annuus* L.) Plants, Senescence. (Ed. T., Nagata), ISBN: 978-953-51-0144-4, InTech Europe.
- Alkhalfioui, F., Renard, M., Vensel, W. H., Wong, J., Tanaka, C. K., Hurkman, W. J., Buchanan, B. B. and Montrichard, F. (2007) Thioredoxin-linked proteins

- and practical implications. *Antioxid Redox Signal* 11: 861–905.
- Fukuda, T., Ito, H. and Yoshida, T. (2003) Antioxidative polyphenols from Walnuts (*Juglans regia* L.). *Phytochemistry* 63:795-801.
- Gollop, R., Even, S., Colova-Tsolova, V. and Per, A. (2002) Expression of the grape dihydroflavonol reductase gene and analysis of its promoter region. *Journal of Experimental Botany* 53: 1397–1409.
- Graf, A., Schlereth, A., Stitt, M. and Smith, A. M. (2010) Circadian control of carbohydrate availability for growth in *Arabidopsis* plants at night. *Proc Natl Acad Sci USA* 107: 9458–9463.
- Guiboileau, A., Sormani, R., Meyer, C., Masclaux-Daubresse, C. (2010) Senescence and death of plant organs: nutrient recycling and developmental regulation. *Comptes Rendus Biologies* 333: 382–391.
- Halliwell, B., Rafter, J. and Jenner, A. (2005). Health promotion by flavonoids, tocopherols, tocotrienols and other phenols: direct or indirect effects? antioxidant or not? *American Journal of Clinical Nutrition* 81:268S-276S.
- Handel, E. V. (1968) Direct micro-determination of sucrose. *Analytical Biochemistry* 22: 280-83.
- Juvany, M., Muller, M. and Munne-Bosch, S. (2013) Photo-oxidative stress in emerging and senescing leaves: a mirror image? *Journal of Experimental Botany* 3087-3098.
- Kar, M. and Mishra, D. (1976) Catalase, peroxidase and polyphenol oxidase activities during *Rice* leaf senescence. *Plant Physiology* 57:315-319.
- Karatas, I., Ozturk, L., Ersahin, Y. and Okatani, Yener (2010) Effects of auxin on photosynthetic pigments and some enzyme activities during ark- induced senescence of *Tropaeolum* leaves. *Pakistan Journal of Botany* 42: 1881-1888.
- Kisban, C., Horvath, M., Dezi, L., Udvardy, J. and Farkas, G. L. (1964) Role of root system in the regulation of enzyme levels in leaf tissues. *Acta Botanica Academiae Scientiarum Hungaricae* 10:275-287.
- Kobrehel, K., Wong, J. H., Balogh, A., Kiss, F., Yee, B. C. and Buchanan, B. B. (1992) Specific reduction of wheat storage proteins by thioredoxin h. *Plant Physiology* 99: 919-924.
- Lepisto, A., Kangasjarvi, S., Luomala, E.M., Hannikainen, K., Brader, G. and Rintamaki, E. (2008) Chloroplastic NADPH thioredoxin reductase mediates photoperiod-dependent development of leaves in *Arabidopsis*. In: *Photosynthesis energy from the sun*. 14<sup>th</sup> International Congress on Photosynthesis Research, Springer, Heidelberg, ISBN: 978-1-4020-6707-5, 1303-1306.
- Lepisto, A., Kangasjarvi, S., Luomala, E. M., Brader, G., Sipari, N., Keranen, M., Keinanen, M. and Rintamaki, E. (2009) Chloroplast NADPH-thioredoxin reductase interacts with photoperiodic
- Bhattacharjee, S. (2012) The Language of Reactive Oxygen Species Signaling in Plants. *Journal of Botany* 1-22.
- Bradford, M. (1976) A rapid and sensitive method for the quantitation of microgram quantities of protein utilizing the principle of protein-dye binding. *Analytical Biochemistry* 72: 248-252.
- Buchanan, B. B. and Balmer, Y. (2005) Redox regulation: a broadening horizon. *Annual Review of Plant Biology* 56: 187–220.
- Buchanan-Wollaston, V., Wellesbourne, H. R. I. and Warwick, U. K. (2003b) Senescence, leaves, In: *Encyclopedia of Applied Plant Sciences*, Elsevier Academic Press 808-816.
- Chance, B. and Maehly, A. C. (1955) Assay of catalase and peroxidase. *Methods Enzymol* 2: 764-775.
- Chen, G. H., Liu, C. P., Chen, S. C. G. and Wang, L. C. (2012) Role of *Arabidopsis* a-fifteen in regulating leaf senescence involves response to reactive oxygen species and is dependent on ethylene insensitive. *Journal of Experimental Botany* 63: 275–292.
- Chi, Y. H., Moon, J. C., Park, J. H., Kim, H. S., Zulfugarov, I. S., Fanata, W. I., Jang, H. H., Lee, J. R., Lee, Y. M., Kim, S. T., Chung, Y. Y., Lim, C. O., Kim, J. Y., Yun, D. J., Lee, C. H., Lee, K. O. and Lee, S. Y. (2008) Abnormal chloroplast development and growth inhibition in Rice thioredoxin m Knock-Down plants. *Plant Physiology* 148: 808-817.
- Collin, V., Lamkemeyer, P., Miginiac-Maslow, M., Hirasawa, M., Knaff, D. B., Dietz, K. J. and Issakidis-Bourguet, E. (2004) Characterization of plastidial thioredoxins from *Arabidopsis* belonging to the new y-type. *Plant Physiology* 136:4088–4095.
- De Dios Barajas-Lopez, J., Serrato, A. J., Olmedilla, A., Chueca, A. and Sahrawy, M. (2007) Localization in roots and flowers of *Pea* chloroplastic thioredoxin f and thioredoxin m proteins reveals new roles in nonphotosynthetic organs. *Plant Physiology* 145: 946–960.
- Dertinger, U., Schaz, U. and Schulze, E. D. (2003) Age-dependence of the antioxidative system in tobacco with enhanced glutathione reductase activity or senescence-induced production of cytokinins. *Physiologia Plantarum* 119: 19–29.
- Dietz, K. J. and Pfannschmidt, T. (2011) Novel regulators in photosynthetic redox control of plant metabolism and gene expression. *Plant Physiology* 155:1477-1485.
- Dunand, C., Crevecoeur, M. and Penel, C. (2007) Distribution of superoxide and hydrogen peroxide in *Arabidopsis* root and their influence on root development: possible interaction with peroxidases. *New Phytologist* 174: 332–341.
- Foyer, C.H. and Noctor, G. (2000) Oxygen processing in photosynthesis: regulation and signalling. *New Phytol* 146: 359–388.
- Foyer, C. H. and Noctor, G. (2009) Redox-regulation in photosynthetic organisms: signaling, acclimation,

- against Oxidative Damage. *The Plant Cell*. 18: 2356–2368.
- Prado, F. E., Gonzalez, J. A., Boero, C. and Sampietro, A. R. (1998) A simple and sensitive method for determining reducing sugars in plant tissues. Application to quantify the sugar content in quinoa (*Chenopodium quinoa Willd.*) seedlings. *Phytochemical Analysis* 9: 58-62.
- Price, M. P. and Butler, L. G. (1977) Rapid visual estimation and spectrophotometric determination of tannin content of sorghum grain. *Journal of Agricultural and Food Chemistry* 25:1268-1273.
- Prochazkova, D., Haisel, D. and Wilhelmova, N. (2009) Content of carotenoids during ageing and senescence of tobacco leaves with genetically modulated life-span. *Photosynthetica* 47:409-414.
- Resende, M. L. V., Nojosa, G. B. A., Cavalcanti, L. S., Aguilar, M. A. G., Silva, L. H. C. P., Perez, J. O. Andrade, G. C. G. Carvalho, G. A. and Castro, R. M. (2002) Induction of resistance in cocoa against *Crinipellis pernicioso* and *Verticillium dahliae* by acibenzolar-s-methyl (ASM). *Plant Pathology* 51:621-628.
- Rintamaki, E., Lepistö, A. and Kangasjärvi, S. (2009) Implication of chlorophyll biosynthesis on chloroplast-to-nucleus retrograde signaling. *Plant Signaling and Behavior* 4: 545-547.
- Scebba, F., Sebastiani, L., Vitagliano, C. (2001) Activities of antioxidant enzymes during senescence of *Prunus armeniaca* leaves. *Biology Plant* 44:41–46.
- Schurmann, P. and Jacquot, J. P. (2000) Plant thioredoxin systems revisited. *Annual Review of Plant Physiology and Plant Molecular Biology* 51: 371–400.
- Serrato, A., Perez-Ruiz, J. M., Spinola, M. C. and Cejudo, F. J. (2004) A novel NADPH thioredoxin reductase, localized in the chloroplast, which deficiency causes hypersensitivity to abiotic stress in *Arabidopsis thaliana*. *The Journal of Biological Chemistry* 279: 43821–43827.
- Stankovic, M. S., Niciforovic, N., Mihailovic, V., Topuzovic, M. and Solujic, S. (2012) Antioxidant activity, total phenolic content and flavonoid concentrations of different plant parts of *Teucrium Polium* L. subsp. *Polium*. *Acta Societatis Botanicorum Poloniae* 81:117-122.
- Taiz, L., and Zeiger, E. (2010) *Plant Physiology* (5th edition). Sinauer Associates Inc., ISBN 978-0-87893-866-7, Sunderland, Massachusetts USA.
- Thormahlen, I., Ruber, J., Von Roepenack-Lahaye, E., Ehrlich, S.M., Massot, V., Hummer, C., Tezycka, J., Issakidis-Bourguet, E. and Geigenberger, P. (2013) Inactivation of thioredoxin *f1* leads to decreased light activation of ADP-glucose pyrophosphorylase and altered diurnal starch turnover in leaves of *Arabidopsis* plants. *Plant, Cell and Environment* 36:16-29.
- development in *Arabidopsis*. *Plant Physiology* 149: 1261–1276.
- Lim, P. O., Kim, H. J. and Nam, H. G. (2007) Leaf senescence. *Annual Review of Plant Biology* 58: 115–136.
- Liu, J., Wu, Y. H., Yang, J. J., Liu, Y. D. and Shen, F. F. (2008) Protein degradation and nitrogen remobilization during leaf senescence. *Journal of Plant Biology* 51:11-19.
- Masclaux-Daubresse, C., Daniel-Vedele, F., Dechognat, J., Fabien, C., Gaufichon, L. and Suzuki, A. (2010) Nitrogen uptake, assimilation and remobilization in plants: challenges for sustainable and productive agriculture. *Annals of Botany* 105: 1141–1157.
- McCready, R., Guggolz, J., Silveira, V. and Owens, H. (1950) Determination of starch and amylose in vegetables, application to peas. *Analytical Chemistry* 22:1156-1158.
- Michalska, J., Zauber, H., Buchanan, B. B., Cejudo, F. J. and Geigenberger, P. (2009) NTRC links built-in thioredoxin to light and sucrose in regulating starch synthesis in chloroplasts and amyloplasts. *Proceedings of the National Academy of Sciences of the United States of America* 106: 9908-9913.
- Mita, S., Murano, N and Akaike Nakamura, K. (1997) Mutants of *Arabidopsis thaliana* with pleiotropic effects on the expression of the gene for beta-amylase and on the accumulation of anthocyanin that is inducible by sugars. *Plant Journal* 11: 841-851.
- Mittler, R. (2002) Oxidative stress, antioxidants and stress tolerance. *Trends in Plant Science* 7: 405–410.
- Montrichard, F., Alkhalfioui, F., Yano, H., Vensel, W. H., Hurkman, W. H. and Buchanan, B. B. (2009) Thioredoxin targets in plants: The first 30 years. *Journal of Proteomics* 72, 452-474.
- Munne-Bosch, S. and Alegre, L. (2003) Drought-induced changes in the redox state of  $\alpha$ -tocopherol, ascorbate, and the diterpene carnosic acid in chloroplasts of Labiatae species differing in carnosic acid contents. *Plant Physiology* 131: 1816–1825.
- Nakano, Y. and Asada, K. (1981) Hydrogen peroxide is scavenged by ascorbate specific peroxidase in Spanish chloroplast. *Plant Cell Physiology* 22:867-880.
- Ougham, H. J., Morris, P. and Thomas, H. (2005) The colors of autumn leaves as symptoms of cellular recycling and defenses against environmental stresses. *Current Topics in Developmental Biology* 66: 135–160.
- Parish, R.W. (1968). Studies on senescing tobacco leaf discs with special reference to peroxidase1. The effect of cutting and inhibition of nucleic acid and protein synthesis. *Planta* 82:1-13.
- Perez-Ruiz, J. M., Maria Cristina Spinola, M. C., Kirchsteiger, K., Moreno, J., Sahrawy, M. and Cejudo, F. J. (2006) Rice NTRC Is a High-Efficiency Redox System for Chloroplast Protection

- stress and hormone treatment. *Plant Molecular Biology* 37: 455–469.
- Yamakawa, T., Kato, S., Ishida, K., Kodama, T. and Monoda, Y. (1983) Production of anthocyanin by *Vitis* cells in suspension culture. *Agricultural and Biological Chemistry* 47: 2185–2191.
- Zimmermann, P., Heinlein, C., Orendi, G. and Zentgraf, U. (2006) Senescence-specific regulation of catalase in *Arabidopsis thaliana* (L.) Heynh. *Plant, Cell and Environment* 29:1049–1056.
- Vanacker, H., Sandalio, L. M., Jimenez, A., Palma, J. M., Corpas, F. J., Meseguer, V., Gomez, M., Sevilla, F., Leterrier, M., Foyer, C. H. and del Rio, L. A. (2006) Roles for redox regulation in leaf senescence of *pea* plants grown on different sources of nitrogen nutrition. *Journal of Experimental Botany* 57: 1735–1745.
- Weaver, L. M., Gan, S., Quirino, B., Amasino, R. M. (1998) A comparison of the expression patterns of several senescence-associated genes in response to